

بِسْمِ اللّٰهِ الرَّحْمٰنِ الرَّحِيْمِ



دانشگاه هرمزگان

## دانشگده فنی و مهندسی

پایان نامه برای دریافت درجه کارشناسی ارشد

مهندسی مکانیک ، گرایش تبدیل انرژی

### عنوان

طراحی بهینه مبدل حرارتی پیش گرمکن نفت خام با استفاده از مدل شبکه عصبی رسوب و

الگوریتم ژنتیک

### دانشجو

هاشم فردین نژاد

### استاد راهنمای

دکتر جمشید خورشیدی

### استاد مشاور

دکتر یونس بخشان

اسفند ماه ۱۳۹۳

تقدیم به

## پیگاه مقدس مهدی موعود(عج)

تقدیم به

همه شهداي ايران عزير

آنان که از همه هستی سان گذشتند تا امنیت و عزت مایه دار بگاند

تقدیم به پدر، مادر و خانواده عزیزم

که بارنج و محنت بی دریشان و دعای خیرشان اسباب علم آموزی بنده را فراهم ساختند.

## پاس از

زحمات و راهنمایی‌های استادیگر و مهندسی مکانیک دانشگاه هرمزگان، بالاخص استاد راهنمای و استاد مشاور

این اثر، دکتر خورشیدی و دکتر رخشان که یاری گربی دینغ‌بنده بوده‌اند.

همچنین بر خود لازم می‌دانم از زحمات برادران عزیزم: مهندس فرزاد نادی، درستای راهنمایی‌های

ایشان در روند برنامه‌نویسی این پروژه و مهندسین محترم پالایشگاه نفت بندرعباس در واحد مهندسی

مکانیک و مهندسی پالایش و بازرگانی فنی، آقایان نعمتی، پیرزاده و باقریان، درستای جمع‌آوری

اطلاعات و راهنمایی‌های صنعتی، کمال مشکر و قدردانی را داشته باشم.

و مشکرمی کنم از همه افرادی که به هر نوع، یاری گربنده بوده‌اند.

## چکیده

در پژوهش حاضر با استفاده از روابط طراحی مبدل به روش بل (Bell)، برنامه‌ای در نرمافزار متلب (MATLAB) نوشته شده و مدل خطی تشکیل رسوب نفت خام مبدل حرارتی E01010A واحد تقطیر پالایشگاه بندرعباس، با استفاده از اطلاعات واحد عملیاتی (مستخرج از سیستم DCS پالایشگاه)، ارائه شده است. ارزیابی عملکرد این مبدل از نظر رسوب گرفتگی و طراحی حرارتی نشان می‌دهد که میزان رسوب این مبدل در طی گذشت حدود پنج ماه، از میزان مجاز آن ۷/۴۲ برابر بیشتر شده و در نتیجه بار حرارتی آن ۱۳/۹ درصد کاهش یافته است. همچنین در این پژوهش یک مدل جدید مبتنی بر شبکه عصبی مصنوعی برای پیش‌بینی نرخ تشکیل رسوب نفت خام ارائه شده است؛ با استفاده از این مدل و با به کار گیری الگوریتم ژنتیک و روابط (به روش بل) و متغیرهای استاندارد طراحی مبدل (به گونه‌ای که نتیجه آن یک طراحی معتبر از نظر استاندارد TEMA باشد)، یک برنامه بهینه‌سازی با استفاده از یک کد محاسباتی ارائه شده است؛ در این برنامه با به کار گیری مدل شبکه عصبی رسوب، هزینه رسوب مبدل محاسبه می‌شود و مبدل بهینه‌ای طراحی می‌گردد که هزینه کل آن (شامل هزینه اولیه، هزینه عملیاتی ناشی از افتشار و هزینه رسوب) نسبت به سایر طرحهای ممکن کمینه باشد. همچنین مدل رسوب ارائه شده، پیش‌بینی با خطای ۱۰٪ را ارائه می‌کند که نسبت به آخرین مدل شبکه عصبی ارائه شده در پژوهش‌های پیشین، به دلیل انتخاب پارامترهای تأثیرگذار در تشکیل رسوب به عنوان ورودی شبکه و قدرت بالای شبکه عصبی در پیش‌بینی مسائل پیچیده، ۸٪ و نسبت به مدل‌های شناخته شده آستانه رسوب، بین ۴۵ تا ۷۵ درصد بهتر می‌باشد. جهت ارزیابی و مقایسه (در مقیاس صنعتی) نتایج مدل ارائه شده، از نتیجه ضریب رسوب مبدل E01010A که با استفاده از داده‌های عملیاتی پالایشگاه بندرعباس حاصل شده بود، استفاده شده است. درنهایت امر، برنامه بهینه‌سازی فوق الذکر برای مبدل E01010A براساس شرایط فرآیندی طراحی اولیه، اجراء شده و نتایج بدست آمده نشان می‌دهد که هزینه کل مبدل طراحی شده به این روش تا حدود ۳۰٪ نسبت به هزینه طراحی اولیه (در مجموع هزینه‌های خرید و هزینه عملیات) کمتر می‌باشد. لذا این روش می‌تواند ابزار قدرتمندی در طراحی مبدل محسوب شود.

**کلمات کلیدی :** بهینه‌سازی، مبدل پیش‌گرمکن، نفت خام، رسوب، شبکه عصبی، الگوریتم ژنتیک

## فهرست مطالب

۱	فهرست مطالب
۲	فهرست شکل‌ها
۳	فهرست جداول‌ها
۴	فهرست علائم
۵	۱- مقدمه
۶	۱-۱- معرفی مبدل‌های حرارتی
۷	۱-۲- دسته‌بندی مبدل‌های حرارتی
۸	۱-۳- اهمیت و کاربرد مبدل‌های حرارتی پوسته و لوله
۹	۱-۴- اجزای مختلف مبدل‌های پوسته و لوله
۱۰	۱-۵- انواع مبدل‌های پوسته‌ولوله بر اساس تقسیم بندی TEMA
۱۱	۱-۶- اصول طراحی مبدل‌های حرارتی
۱۲	۱-۶-۱- تعیین ویژگی‌ها و شرایط فرآیندی
۱۳	۱-۶-۲- اهمیت مطالعه رسوب در مبدل‌های حرارتی پوسته‌ولوله
۱۴	۱-۸- علل، مکانیسم‌ها و مراحل تشکیل رسوب
۱۵	۱-۹- اهداف پژوهش حاضر
۱۶	۱-۱۰- فرضیه‌های پژوهش حاضر
۱۷	۲- مروری بر منابع و پیشینه تحقیق
۱۸	۲-۱- مقدمه
۱۹	۲-۲- مدل‌های رسوب‌گذاری
۲۰	۲-۲-۱ مدل رسوب‌گذاری خطی
۲۱	۲-۲-۲ مدل‌های رسوب‌گذاری غیرخطی
۲۲	۳-۲-۲ مدل رسوب‌گذاری کریتندن و کلازکوسکی
۲۳	۴-۲-۲ مدل‌های نیمه‌تجربی آستانه رسوب‌گذاری
۲۴	۳-۳-۲ بهینه‌سازی مبدل حرارتی پوسته و لوله
۲۵	۳-۳-۱ بهینه‌سازی مبدل پوسته و لوله با الگوریتم‌های تکاملی و تابع هدف نوع اول
۲۶	۳-۳-۲ بهینه‌سازی مبدل پوسته و لوله با الگوریتم‌های تکاملی و تابع هدف نوع دوم
۲۷	۳- روابط حاکم بر طراحی و بهینه‌سازی مبدل حرارتی پوسته و لوله

۴۴	۱-۳ - مقدمه
۴۴	۲-۳ - روابط حاکم بر طراحی حرارتی
۴۵	۳-۲-۱ روابط محاسبه دمای معیار جهت محاسبه خواص ترموفیزیکی سیال
۴۶	۳-۲-۲ رابطه تعیین دمای دیواره لوله
۴۷	۳-۲-۳ روابط کلی انتقال حرارت
۵۰	۳-۲-۴ روابط ضریب انتقال حرارت جابجایی سمت لوله
۵۰	۳-۲-۵ روابط ضریب انتقال حرارت جابجایی سمت پوسته
۵۶	۳-۳-۱ روابط حاکم بر طراحی هیدرولیکی
۵۶	۳-۳-۲ روابط افت فشار سمت لوله
۵۷	۳-۳-۳ روابط افت فشار سمت پوسته
۵۸	۳-۴-۳ روابط محاسبه هزینه مبدل
۶۲	۴- داده‌ها و موارد مطالعاتی پژوهش
۶۲	۴-۱-۱ معرفی مبدل E01010A/B واحد پیش‌گرمن نفت خام پالایشگاه بندرعباس
۶۲	۴-۲-۱ داده‌های پژوهش جهت مدل‌سازی رسوب نفت خام در مبدل E01010A/B
۶۲	۴-۲-۲ اطلاعات مکانیکی مورد نیاز مبدل E01010A/B جهت مدل‌سازی رسوب
۶۴	۴-۲-۳ داده‌های فرآیندی مورد نیاز مبدل E01010A/B جهت مدل‌سازی رسوب
۶۶	۴-۳-۱ داده‌های پژوهش جهت مدل‌سازی رسوب نفت خام با استفاده از شبکه عصبی
۷۰	۴-۴-۱ معرفی موارد مطالعاتی پژوهش جهت مقایسه نتایج مدل‌سازی و بهینه‌سازی
۷۰	۴-۴-۲ موارد مطالعاتی جهت مقایسه و ارزیابی نتایج مدل شبکه عصبی رسوب
۷۱	۴-۴-۳ معرفی مورد مطالعاتی صنعتی، جهت ارزیابی و مقایسه نتایج بهینه‌سازی مبدل
۷۳	۵- الگوریتم‌های مدل‌سازی و بهینه‌سازی پژوهش
۷۳	۵-۱-۱ الگوریتم مدل‌سازی رسوب نفت خام در مبدل E01010A/B پالایشگاه بندرعباس
۷۴	۵-۲-۱ الگوریتم مدل‌سازی رسوب نفت خام با استفاده از شبکه عصبی
۷۴	۵-۲-۲ مقدمه‌ای بر شبکه عصبی مصنوعی
۷۴	۵-۱-۱ اصول محاسباتی شبکه‌های عصبی مصنوعی
۷۵	۵-۱-۲-۱ معماری شبکه
۷۶	۵-۱-۲-۲ معرفی شبکه عصبی پژوهش حاضر
۷۷	۵-۱-۳-۱ الگوریتم بهینه‌سازی مبدل با استفاده از شبکه عصبی رسوب و الگوریتم ژنتیک

۷۸	- ۱-۳-۵ مقدمه‌ای بر الگوریتم ژنتیک
۸۰	- ۲-۳-۵ مراحل بهینه‌سازی نوع اول، الگوریتم ژنتیک با به کارگیری متغیرهای استاندارد طراحی
۸۴	- ۳-۳-۵ مراحل بهینه‌سازی نوع دوم، الگوریتم ژنتیک، شبکه عصبی رسوب با متغیر طراحی استاندارد
۸۹	- ۶- نتایج و بحث
۸۹	- ۶- نتایج مدل‌سازی رسوب نفت خام
۸۹	- ۶-۱ نتایج مدل‌سازی رسوب نفت خام در مبدل حرارتی E01010A/B پالایشگاه بندرعباس
۹۸	- ۶-۲ مدل شبکه عصبی رسوب نفت خام
۱۰۳	- ۶-۲-۱ نتایج ارزیابی و بهینه‌سازی مبدل
۱۰۴	- ۶-۲-۲ نتایج ارزیابی و بهینه‌سازی مبدل E01010A/B
۱۱۳	- ۷- نتیجه‌گیری و پیشنهاد
۱۱۳	- ۷-۱ نتیجه‌گیری
۱۱۶	- ۷-۲- پیشنهادها
۱۱۷	پیوست الف: معرفی مبدل‌های حرارتی واحد تقطیر پالایشگاه نفت بندرعباس
۱۲۰	پیوست ب: نمودار و روابط محاسبه فاکتور انتقال حرارت و ضریب افت‌شار سمت پوسته به روش بل
۱۲۸	- مراجع

## فهرست شکل‌ها

شکل ۱-۱: دستگاه تبادل گر حرارت یا مبدل حرارتی (از نوع پوسته‌ولوله) [۱]	۲
شکل ۲-۱: نمودار درختی تقسیم‌بندی مبدل‌ها براساس ساختار مکانیکی [۳]	۳
شکل ۳-۱: اجزای کلی مبدل پوسته‌ولوله [۴]	۵
شکل ۴-۱: تصویر چند مجموعه لوله ساخته شده با بafل‌های قطاعی [۲]	۵
شکل ۵-۱: نمایش کلگی جلو، عقب و پوسته در مبدل نوع BEM با یک گذر پوسته و یک گذر لوله [۴]	۶
شکل ۶-۱: مبدل نوع AES [۶]	۶
شکل ۷-۱: انواع مبدل‌های پوسته و لوله بر اساس استاندارد TEMA [۵]	۷
شکل ۸-۱: مبدل نوع BEU [۶]	۷
شکل ۹-۱: دیاگرام شماتیک زنجیره پیش‌گرمن کن نفت خام [۸]	۱۰
شکل ۱۰-۱: رسوب گرفتگی در سمت پوسته یک مبدل حرارتی [۹]	۱۱
شکل ۱۱-۱: مبدل‌های پوسته‌ولوله پالایشگاه تبریز در زمان تمیزکاری، الف) بafل‌های قطاعی، ب) بafل‌های هلیکال [۱۰]	۱۲
شکل ۱۲-۱: رسوب گرفتگی در دهانه ورودی لوله‌های مبدل پالایشگاه اصفهان [۱۱]	۱۲
شکل ۱۲-۲: مقایسه دمای آستانه پیش‌بینی شده توسط مدل پلی با داده‌های آزمایشگاهی نادسن [۱۵]	۲۶
شکل ۲-۲: چگونگی بدست آوردن انرژی اکتیواسیون از دمای فیلم و نرخ رسوب [۱۴]	۲۹
شکل ۳-۲: نمودار تغییرات بازده حرارتی و اختلاف دمای سمت پوسته و سمت لوله در پژوهش رادهاکریشنان [۲۲]	۳۰
شکل ۴-۲: مقایسه اختلاف دمای واقعی و پیش‌بینی شده با مدل شبکه عصبی در پژوهش رادهاکریشنان [۲۲]	۳۱
شکل ۵-۲: مقایسه بازده حرارتی واقعی و بازده پیش‌بینی شده با مدل شبکه عصبی در پژوهش رادهاکریشنان [۲۲]	۳۱
شکل ۶-۲: نمودار مقایسه نتایج مدل شبکه عصبی امینیان (۲۰۰۸) و نتایج مدل‌های آستانه [۲۳]	۳۲
شکل ۷-۲: نمودار مقایسه حساسیت پارامترهای ورودی در مدل شبکه عصبی امینیان [۲۳]	۳۲
شکل ۸-۲: نمودار آستانه رسوب بدست آمده از مدل شبکه عصبی رسوب امینیان [۲۴]	۳۴
شکل ۹-۲: نتایج بهینه‌سازی مدل در پژوهش کاپوتو و همکاران [۲۵]	۳۸
شکل ۱۰-۲: نمودار آنالیز حساسیت طول لوله در هزینه و بازدهی مبدل در روش بهینه‌سازی پژوهش صنایع و همکاران [۲۶]	۳۹
شکل ۱۱-۲: مقایسه نتایج حاصل از الگوریتم فاخته در پژوهش اسدی و همکاران با سایر الگوریتم تکاملی [۳۰]	۳۹
شکل ۱۲-۲: نمودار گردشی روش بهینه‌سازی مبدل در پژوهش کاپوتو و همکاران [۳۴]	۴۱
شکل ۱۳-۲: نمودار تأثیر ضریب رسوب در دوره شستشوی مبدل [۳۴]	۴۲
شکل ۱-۳: محاسبه گرافیکی ضریب مربوط به دمای کالریک [۳۵]	۴۵
شکل ۲-۳: ضریب انتقال حرارت داخل لوله بر حسب سطح خارجی لوله [۳۵]	۴۸
شکل ۳-۳: مدار جریان حرارت در یک مبدل پوسته‌ولوله [۳]	۴۹

شکل ۴-۳: جریان متقاطع در سمت پوسته [۶]	۵۱
شکل ۵-۳: جریان کنارگذر و نوار نشتی گیر جهت کاهش آن [۶]	۵۱
شکل ۶-۳: الگوی جریان سمت پوسته در روش بل [۴]	۵۲
شکل ۷-۳: نمای جریان نشتی نوع A برای یک لوله [۴]	۵۳
شکل ۸-۳: جریان عرضی مابین لوله‌ها، جریان نوع B [۴]	۵۳
شکل ۹-۳: نمای برش خورده نوار نشتی گیر جهت کاهش جریان کنارگذر نوع C [۴]	۵۳
شکل ۱۰-۳: نمای ایزومتریک نوار نشتی گیر [۴]	۵۴
شکل ۱۱-۳: نمایش مفهومی جریان نشتی بین پوسته و انتهای بافل، جریان نوع E [۴]	۵۴
شکل ۱۲-۳: جریان کنارگذر نوع F در مجموعه لوله شش گذره [۴]	۵۴
شکل ۱۳-۳: جریان کنارگذر نوع F در مجموعه لوله دو گذره [۶]	۵۵
شکل ۱۴-۴: ساختار کلی فرآیندی- مکانیکی مبدل حرارتی E01010A/B	۶۲
شکل ۲-۴: نمای شماتیک وضعیت قرارگیری بافل‌ها و پارامترهای اندازه‌گیری فواصل مربوطه [۳۶]	۶۳
شکل ۳-۴: نمای برش خورده از پوسته و مجموعه لوله جهت نمایش اندازه پارامترهای مربوطه [۳۶]	۶۳
شکل ۴-۴: معرفی پارامترهای فرآیندی مورد استفاده در مدل‌سازی رسوب نفت خام مبدل	۶۴
شکل ۵-۴: نمودار گرانش ویژه (چگالی نسبی) مواد نفتی بر حسب دما و گرانش ویژه معیار [۵]	۶۸
شکل ۱-۵: نمودار گردشی روند محاسبه ضریب رسوب در مبدل حرارتی E01010A	۷۳
شکل ۲-۵: نحوه پردازش داده‌ها توسط نرون‌ها در شبکه عصبی مصنوعی [۴۰]	۷۴
شکل ۳-۵: ابزار آموزش شبکه عصبی در مطلب در حین فرآیند آموزش شبکه عصبی مدل پژوهش حاضر	۷۷
شکل ۴-۵: نقاط بهینه محلی و بهینه کلی [۴۲]	۷۹
شکل ۵-۵: نمودار گردشی الگوریتم ژنتیک استفاده شده در پژوهش حاضر	۸۱
شکل ۷-۵: نمودار جریانی برنامه بهینه‌سازی نوع دوم، الگوریتم ژنتیک با استفاده از مدل شبکه عصبی رسوب	۸۵
شکل ۱-۶: نمودار واقعی و برآشش شده مقاومت جرم‌گرفتگی مبدل E01010A بر حسب زمان	۹۰
شکل ۲-۶: نمودار تغییرات سرعت متوسط نفت خام در لوله‌ها در دوره زمانی مورد مطالعه	۹۱
شکل ۳-۶: نمودار تغییرات دمای ورودی نفت خام به مبدل حرارتی E01010A بر حسب زمان	۹۱
شکل ۴-۶: تغییرات بار حرارتی جربان سرد (نفت خام) در مبدل E1010A بر حسب زمان	۹۳
شکل ۵-۶: نمودار تغییرات عدد رینولدز و پرانتل سمت لوله و پوسته مبدل E01010A در بازه زمانی مورد مطالعه	۹۴
شکل ۶-۶: نمودار میله‌ای بار حرارتی متوسط مبدل E1010A در یک ماه ابتداء، انتهای و کل دوره مطالعه	۹۵
شکل ۷-۶: نمودار تغییرات دمای دیواره لوله مبدل E01010A/B بر حسب زمان	۹۷
شکل ۸-۶: نمودار میله‌ای در صد خطای مدل‌های پیش‌بینی رسوب	۹۹
شکل ۹-۶: مقایسه هزینه کل مبدل طراحی شده به روشهای بهینه‌سازی پژوهش حاضر	۱۱۰
شکل ۱۰-۶: مقایسه افت فشار سمت لوله طراحی اولیه و طراحی بهینه ارائه شده	۱۱۱

## فهرست جدول‌ها

جدول ۱-۱ : اصطلاحات لاتین مربوط به ساختار مبدل پوسته و لوله [۶]	۸
جدول ۱-۲ : نتایج آزمایش‌های نادسن [۲۱]	۲۴
جدول ۲-۲ : روابط محاسبه خواص نفت‌خام [۱۵]	۲۴
جدول ۳-۲ : نتایج داده‌های نادسن و معادله ابرت در $T_b = 204^{\circ}C$ [۱۵]	۲۵
جدول ۴-۲ : مقایسه دمای آستانه پیش‌بینی شده توسط مدل پلی با داده‌های آزمایشگاهی نادسن [۱۵]	۲۵
جدول ۵-۲ : مقایسه نرخ رسوب به دست آمده با مدل پلی و نتایج آزمایشگاهی نفت اکسون [۱۵]	۲۶
جدول ۶-۲ : مقایسه نرخ رسوب به دست آمده با مدل پلی و نتایج آزمایشگاهی پالایشگاه شل وود ریور (نفت خام مایا) [۱۵]	۲۶
جدول ۷-۲ : مقایسه نرخ رسوب به دست آمده با مدل پلی و نتایج آزمایشگاهی نادسن [۱۵]	۲۷
جدول ۸-۲ : مقایسه نرخ رسوب به دست آمده با مدل پلی و نتایج آزمایشگاهی پالایشگاه شل وستلو (نفت‌خام مایا)- قسمت اول [۱۵]	۲۷
جدول ۹-۲ : مقایسه نرخ رسوب به دست آمده با مدل پلی و نتایج آزمایشگاهی پالایشگاه شل وستلو (نفت‌خام مایا)- قسمت دوم [۱۵]	۲۸
جدول ۱۰-۲ : مقایسه نرخ رسوب به دست آمده با مدل پلی و نتایج آزمایشگاهی پالایشگاه شل وستلو (نفت خام مایا)- قسمت سوم [۱۵]	۲۸
جدول ۱۱-۲ : مجموعه داده‌های مورد استفاده در مدل شبکه عصبی امینیان و شاه‌حسینی [۲۳]	۳۳
جدول ۱۲-۲ : روابط محاسبه خواص نفت‌خام در مدل شبکه عصبی رسوب امینیان [۲۴]	۳۴
جدول ۱۳-۲ : مجموعه داده‌های مورد استفاده در مدل شبکه عصبی امینیان و شاه‌حسینی [۲۴]	۳۵
جدول ۱۴-۲ : موارد مطالعاتی استفاده شده در پژوهش کاپوتو و همکاران [۲۵]	۳۷
جدول ۱۵-۲ : متغیرهای طراحی در روش بهینه‌سازی پژوهش صنایع و همکاران [۲۶]	۳۸
جدول ۱۶-۲ : قطر داخلی و خارجی استاندارد مورد استفاده در روش بهینه‌سازی پژوهش صنایع و همکاران [۲۶]	۳۸
جدول ۱۷-۲ : معرفی و محدوده متغیرهای طراحی بهینه مبدل در پژوهش خرسروی و همکاران [۳۱]	۴۰
جدول ۱-۳ : تاثیر جریان کنارگذر و نوار نشتی گیر در ضریب انتقال حرارت و افت فشار سمت پوسته [۶]	۵۱
جدول ۲-۳ : کسر هریک از جریان‌های A,B,C,E از جریان کل در رژیم‌های آرام و درهم [۴]	۵۵
جدول ۱-۴ : اطلاعات مکانیکی مورد نیاز در روش ارائه شده جهت مدل‌سازی رسوب نفت‌خام مبدل پیش-گرمنکن	۶۳
جدول ۲-۴ : اطلاعات مکانیکی مستخرج از برگ طراحی و نقشه‌های مکانیکی مبدل E01010A/B	۶۴
جدول ۳-۴ : معرفی داده‌های فرآیندی مستخرج از واحد کنترل پالایشگاه بندربعباس جهت مدل‌سازی رسوب نفت‌خام مبدل E01010A/B	۶۴
جدول ۴-۴ : معرفی داده‌های فرآیندی ثبت نشده در واحد کنترل پالایشگاه بندربعباس، مورد نیاز جهت مدل‌سازی رسوب نفت‌خام مبدل E01010A/B	۶۵
جدول ۵-۴ : پارامترهای ورودی و خروجی معرفی شده به شبکه عصبی	۶۷
جدول ۶-۴ : اطلاعات آزمایشگاهی مورد استفاده جهت آموزش و آزمون شبکه عصبی [۱۵] و [۱۹]	۶۹

جدول ۷-۴: روابط کلی مورد مطالعاتی ۱: مدل‌های پانچال، پلی و نصر، جهت مقایسه نتایج شبکه عصبی	۷۰	رسوب [۲۴]
جدول ۸-۴: شرایط فرآیندی مورد مطالعاتی، جهت بهینه‌سازی مبدل E01010A	۷۱	
جدول ۱-۵: پارامترهای ورودی تعریف شده برای مدل‌سازی رسوب با استفاده از شبکه عصبی	۷۶	
جدول ۲-۵: معرفی و بازه تغییرات متغیرهای ژنتیک برنامه بهینه‌سازی نوع اول	۸۰	
جدول ۳-۵: تعریف و تعداد حالات متغیرهای گسسته طراحی برنامه بهینه‌سازی نوع اول و دوم	۸۲	
جدول ۴-۵: قطرهای استاندارد لوله بر حسب اینچ، مورد استفاده در برنامه بهینه‌سازی نوع اول و دوم	۸۳	
جدول ۵-۵: قطرهای استاندارد پوسته بر حسب اینچ، مورد استفاده در برنامه بهینه‌سازی نوع اول و دوم	۸۳	
جدول ۶-۵: قیدهای طراحی برنامه بهینه‌سازی نوع اول و دوم	۸۳	
جدول ۷-۵: معرفی و بازه تغییرات متغیرهای ژنتیک برنامه بهینه‌سازی نوع دوم	۸۵	
جدول ۱-۶: خلاصه نتایج تشکیل رسوب مبدل E01010A/B در بازه زمانی مورد مطالعه	۹۷	
جدول ۲-۶: مقایسه نرخ تشکیل رسوب صنعتی و پیش‌بینی شده با شبکه عصبی	۹۹	
جدول ۳-۶: نتایج پیش‌بینی شده مدل شبکه عصبی ارائه شده و مقایسه با نتایج سایر مهمترین مدل‌ها (۱)	۱۰۰	
جدول ۴-۶: نتایج پیش‌بینی شده مدل شبکه عصبی ارائه شده و مقایسه با نتایج سایر مهمترین مدل‌ها (۲)	۱۰۱	
جدول ۵-۶: مقایسه نرخ تشکیل رسوب صنعتی، شبکه عصبی و اطلاعات نادسن	۱۰۲	
جدول ۶-۶: شرایط فرآیندی و اطلاعات مکانیکی مبدل‌های E01010A و E01010B	۱۰۴	
جدول ۷-۶: نتایج ارزیابی مبدل E01010A از نظر میزان رسوب مجاز	۱۰۶	
جدول ۸-۶: بارحرارتی ارزیابی شده برای مبدل‌های E01010A و E01010B براساس شرایط برگ طراحی	۱۰۷	
جدول ۹-۶: نتایج بهینه‌سازی مبدل E1010A به روش‌های بهینه‌سازی نوع اول و دوم	۱۰۹	
جدول ۱۰-۶: نتایج بهینه‌سازی مورد مطالعاتی ۲ با استفاده از بهینه‌سازی نوع دوم با شرط حد سرعت مجاز بیشتر	۱۱۰	

## فهرست علائم

تعريف	نماد	واحد
قطر داخلی پوسته	$D_s$	$m$
قطر داخلی لوله	$d_i$	$m$
قطر خارجی لوله	$d_o$	$m$
ضریب اکتیواسیون	$E$	$kJ/mol$
ضخامت تیوب شیت	$L_{ts}$	$m$
طول کلی لوله	$L_{to}$	$m$
تعداد تیوبها	$N_t$	----
قطر مجموعه لوله‌ها	$d_{otl}$	$m$
تعداد نوارهای نشتی‌گیر	$N_{ss}$	$m$
گام لوله	$P_t$	$m$
تعداد گذر لوله	$S$	----
لقی قطری بین پوسته و بافل	$l_{sb}$	$m$
لقی قطری بین لوله و بافل	$l_{tb}$	$m$
فاصله بین بافل‌ها (مرکزی)	$l_{bc}$	$m$
فاصله تیوب شیت ابتدایی تا اولین بافل	$l_{bi}$	$m$
فاصله تیوب شیت انتهایی تا آخرین بافل	$l_{bo}$	$m$
ضریب کلی انتقال حرارت مبدل کثیف	$U_d$	$w/m^2 \cdot {}^\circ C$
ضریب تصحیح دمای	$F$	----
سطح انتقال حرارت	$A$	$m^2$
اختلاف دمای متوسط لگاریتمی	$LMTD$	${}^\circ C$
ضریب کلی انتقال حرارت مبدل تمیز	$U_c$	$w/m^2 \cdot {}^\circ C$
بار حرارتی	$Q$	$w$
ضریب انتقال حرارت سیال سمت لوله بر حسب سطح خارجی لوله	$h_{io}$	$w/m^2 \cdot {}^\circ C$
ضریب انتقال حرارت سیال سمت پوسته	$h_o$	$w/m^2 \cdot {}^\circ C$
ضریب انتقال حرارت سیال سمت لوله	$h_i$	$w/m^2 \cdot {}^\circ C$
عدد بدون بعد رینولدز سیال سمت لوله	$Re_t$	----
ضریب هدایت حرارتی سیال سمت لوله	$k_i$	$w/m \cdot {}^\circ C$
لرجهت سیال	$\mu$	$N.s/m^2$
چگالی سیال	$\rho$	$kg/m^3$
عدد بدون بعد پرانتل سیال سمت لوله	$pr_i$	----

$w/m^2 \cdot {}^{\circ}c$	$h_{id}$	ضریب انتقال حرارت ایدهآل سمت پوسته
----	$j$	فاکتور تصحیح ضریب انتقال حرارت سمت پوسته
$kg/s \cdot m^2$	$G_m$	سرعت جرمی سیال سمت پوسته
$j/kg \cdot {}^{\circ}c$	$C_{po}$	ظرفیت گرمایی ویژه سیال سمت پوسته
----	$pr_o$	عدد بدون بعد پرانتل سیال سمت پوسته
$m^2 \cdot k/w$	$R_f$	مقاومت رسوب
$m/s$	$V_i$	سرعت سیال سمت لوله
${}^{\circ}c$	$T$	دما
$day$	$t$	زمان
${}^{\circ}c$	$t_c$	دماهی کالریک جریان سرد مبدل
${}^{\circ}c$	$T_c$	دماهی کالریک جریان گرم مبدل
$m$	$x_f$	ضخامت لایه رسوب
$m^2 \cdot k/w$	$R_{f\infty}$	مقاومت رسوب در زمان بی‌نهایت

### علائم یونانی

$\varphi_s$	ضریب تصحیح لزجت سیال سمت پوسته
$\varphi_t$	ضریب تصحیح لزجت سیال سمت لوله
$\alpha, \beta, \gamma$	ضرایب مربوط به مدل تشکیل رسوب
$\tau$	تنش برشی

### زیرنویس‌ها

$s$	پوسته
$t$	لوله
$i$	سمت لوله
$o$	سمت پوسته
$f$	رسوب
$w$	دیواره
$c$	تمیز
$d$	کثیف
$\infty$	زمان بی‌نهایت

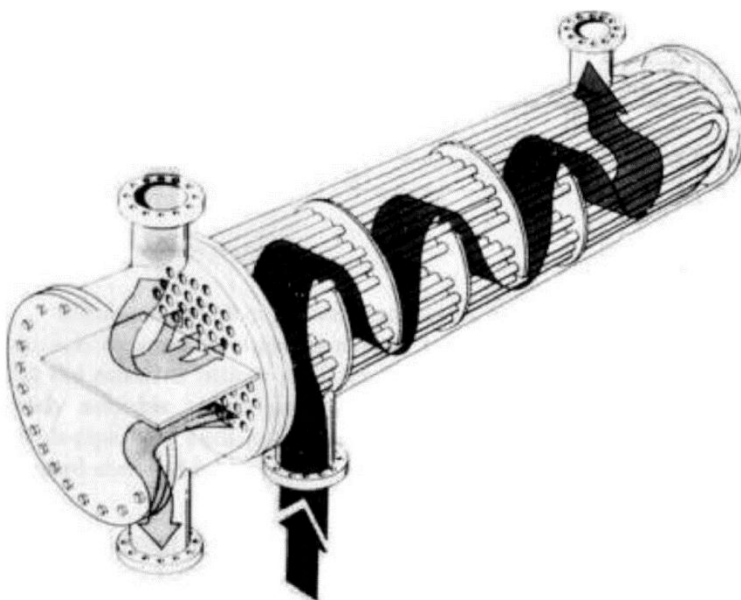
# فصل اول

مقدمه

## ۱ - مقدمه

### ۱-۱- معرفی مبدل‌های حرارتی

انتقال حرارت در سیال‌های فرآیندی یکی از ضروری‌ترین بخش‌ها در اغلب فرآیندهای شیمیایی است. مبدل حرارتی (دستگاه تبادل گر حرارت) مطابق شکل ۱-۱، وسیله‌ای است که انرژی حرارتی را از یک سیال به یک یا چند سیال دیگر که درجه حرارت‌های متفاوتی دارند، منتقل می‌کند.



شکل ۱-۱: دستگاه تبادل گر حرارت یا مبدل حرارتی (از نوع پوسته‌ولوله) [۱]

کاربرد مبدل حرارتی بسیار وسیع است و در صنایع مختلفی مانند نیروگاه‌های تولید برق، پالایشگاه‌ها، صنایع غذایی، داروسازی، پتروشیمی، سردخانه‌ها و سیستم‌های گرمایش و سرمایش ساختمان‌ها و به طور کلی هر جا که مسئله تبادل انرژی و حرارت مطرح باشد، استفاده می‌شود.

لزوم صرفه‌جویی در مصرف انرژی و جلوگیری از اتلاف آن و توجه به مسائل آلودگی محیط- زیست نیز نقش مبدل‌های حرارتی را روشن تر می‌کند. مبدل‌های حرارتی به صورت‌هایی مختلف مانند جوش‌آورها<sup>۱</sup> ، تبخیرکننده‌ها<sup>۲</sup> ، سردکن‌ها<sup>۳</sup> و ... وجود دارند. کلمه مبدل در واقع برای تمام تجهیزاتی به کار می‌رود که در آن‌ها حرارت منتقل می‌شود. اگر در یک فرآیند، جریان فرآیندی سرد یا گرم

<sup>1</sup> Reboiler

<sup>2</sup> Condenser

<sup>3</sup> Evaporator

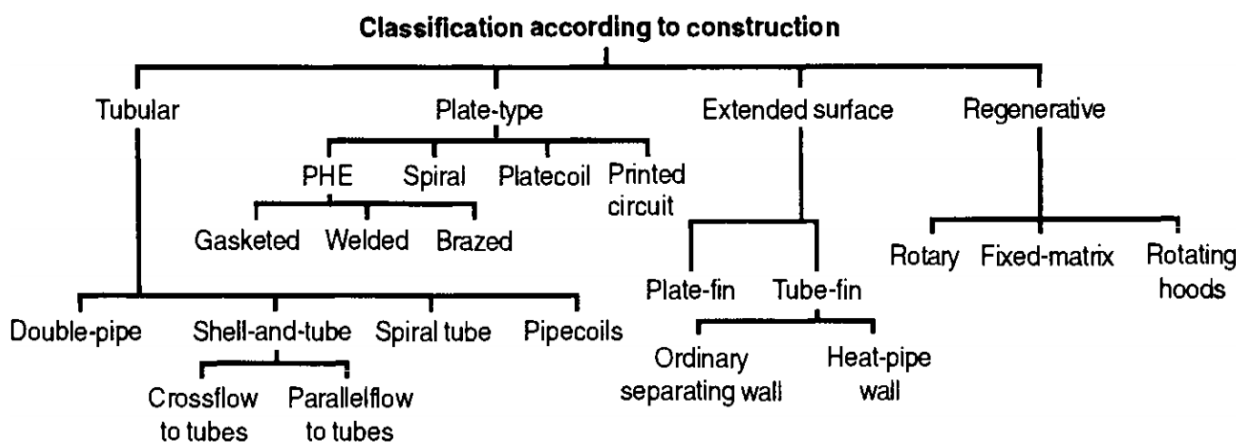
شود، به مبدل خنک کننده یا گرم کننده می گویند و اگر جریان فرآیندی تبخیر گردد، به مبدل تبخیر کننده گفته می شود. زمانی که در پایین برج تقطیر استفاده می شود، جوش آور و هنگامی که برای تغليظ یک محلول به کار می رود، تبخیر کننده نام می گيرد [۲].

## ۱-۲- دسته‌بندی مبدل‌های حرارتی

مبدل‌های حرارتی را می‌توان از جنبه‌های مختلف به چهار گروه دسته‌بندی کرد [۳]:

- بر اساس نوع و سطح تماس سیال سرد و گرم
- بر اساس جهت جریان سیال سرد و گرم
- بر اساس مکانیزم انتقال حرارت بین دو سیال سرد و گرم
- بر اساس ساخته مکانیکی آنها

نمودار درختی تقسیم‌بندی مبدل‌ها براساس ساخته مکانیکی آنها در شکل ۱-۱ ارائه شده است [۳].



شکل ۱-۱: نمودار درختی تقسیم‌بندی مبدل‌ها براساس ساخته مکانیکی [۳]

انواع مبدل‌های مربوط به هر یک از دسته‌بندی‌های فوق و توضیحات مربوط به آن، به تفصیل در پایان‌نامه‌ها و کتب مختلفی که در این زمینه ارائه شده‌اند، ذکر گردیده و در پژوهش حاضر، بیشتر به بحث و بررسی مبدل‌های حرارتی پوسته‌ولوله و فرآیند تشکیل رسوب در آن، (بالاخص فرآیند تشکیل رسوب نفت خام در مبدل‌های پوسته‌ولوله پیش‌گمکن نفت خام) پرداخته می‌شود.

### ۱-۳-۱- اهمیت و کاربرد مبدل‌های حرارتی پوسته و لوله

متداول‌ترین و پرکاربردترین نوع مبدل‌حرارتی که در صنعت مورد استفاده قرار می‌گیرد مبدل حرارتی پوسته‌ولوله می‌باشد که برای کاربردهای مختلف و در اندازه‌های گوناگون، طراحی و ساخته می‌شود. از این نوع مبدل‌ها به منظور تبخیر یک مایع یا کندانس کردن یک بخار و یا انتقال حرارت بین دو مایع استفاده می‌شود. با توجه به گزارش‌ها، پیشرفت و توسعه مبدل‌های حرارتی پوسته‌ولوله، جایگاه مهمی را در صنایع امروزی دارد. در حال حاضر، بیش از ۵۰ درصد مبدل‌های حرارتی صنعت از نوع پوسته‌ولوله‌اند. از دلایل عمدۀ این انتخاب، تحمل فشار و درجه حرارت‌های بالاست. اما بازده آن‌ها از مبدل‌های حرارتی فشرده<sup>۱</sup> ۲۰ تا ۳۰ درصد کم‌تر است. مبدل‌های پیش‌گرمکن نفت‌خام در پالیشگاه‌های نفت و کندانسور نیروگاه‌های بخار از مهمترین و پراستفاده‌ترین کاربرد این نوع مبدل‌ها می‌باشند. طبق تحقیقات سال ۱۹۹۴، این نوع مبدل فروش سالیانه ۶۵۰ میلیون دلاری داشته‌است. این مبدل‌ها با ساختمان بزرگ‌شان به آسانی نگهداری می‌شوند و به راحتی نیز قابل توسعه‌اند<sup>[۲]</sup>.

هم‌چنین باید به این مهم نیز توجه کرد که تأمین بسیاری از خدمات صنعتی نیازمند به کار گیری تعداد زیادی مبدل دو لوله‌ای از نوع دو شاخه است. این مبدل‌ها سطح قابل توجهی را اشغال کرده و در نقاط بسیاری امکان نشت سیال در آن‌ها وجود دارد. هنگامی که سطح تبادل حرارت زیادی مورد نیاز باشد با استفاده از مبدل‌های پوسته و لوله‌ای می‌توان سطح لازم را بدست آورد. در مبدل‌های پوسته و لوله، لوله‌ها درون یک صفحه نگهدارنده قرار گرفته و به دلیل پهن شدگی لوله در سوراخ‌های این صفحه نگهدارنده نوعی آب بندی ایجاد می‌گردد که تحت شرایط عملیاتی مناسب، نشت صورت نمی‌گیرد<sup>[۲]</sup>.

### ۱-۴- اجزای مختلف مبدل‌های پوسته و لوله

در این بخش برای آشنایی کلی با اجزای مختلف مبدل‌های پوسته و لوله توضیحات کلی داده شده است. لازم به ذکر است با توجه به تنوعی که این مبدل‌ها دارند، ممکن است برخی از اجزا فقط در یک نوع خاص از مبدل‌ها وجود داشته باشد. اما به طور کلی مبدل‌های پوسته و لوله دارای اجزای زیر می‌باشند؛ شماره هر قسمت بر روی شکل ۱-۳ نشان داده شده است.<sup>[۴]</sup>

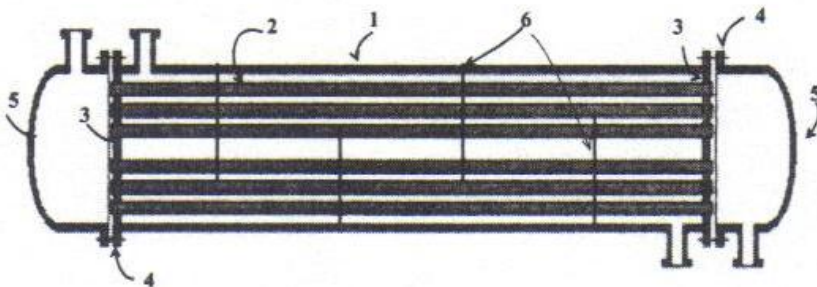
۱- پوسته<sup>۲</sup> و نازل‌های<sup>۳</sup> روی آن

<sup>1</sup> Compact heat exchangers

<sup>2</sup> Shell

<sup>3</sup> Nozzel

- ۲- لوله‌ها
- ۳- صفحه لوله‌ها<sup>۱</sup>
- ۴- مجرای سیالات<sup>۲</sup>
- ۵- درپوش‌های مجرای<sup>۳</sup>
- ۶- بافل‌ها<sup>۴</sup>
- ۷- میله‌های مهار و فاصله انداز بافل‌ها<sup>۵</sup> :



شکل ۳-۱ : اجزای کلی مبدل پوسته‌ولوله [۴]

موارد ذکر شده در بالا، اجزائی هستند که در همه مبدل‌های پوسته و لوله وجود دارند و ممکن است در یک نوع خاص مبدل، اجزای دیگری نیز وجود داشته باشد. همچنین در شکل ۴-۱ تصویر چند مجموعه لوله مربوط به یک مبدل پوسته‌ولوله، ساخته شده با بافل قطاعی ارائه شده است.



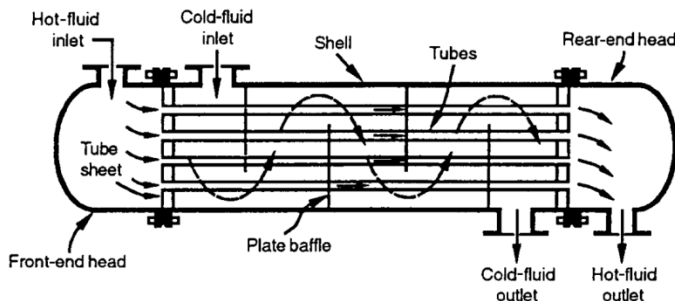
شکل ۱-۴: تصویر چند مجموعه لوله ساخته شده با بافل‌های قطاعی [۲]

---

<sup>۱</sup> Tube sheet  
<sup>۲</sup> Channel  
<sup>۳</sup> Channel Cover  
<sup>۴</sup> Baffle  
<sup>۵</sup> Baffle spacers or Tierool

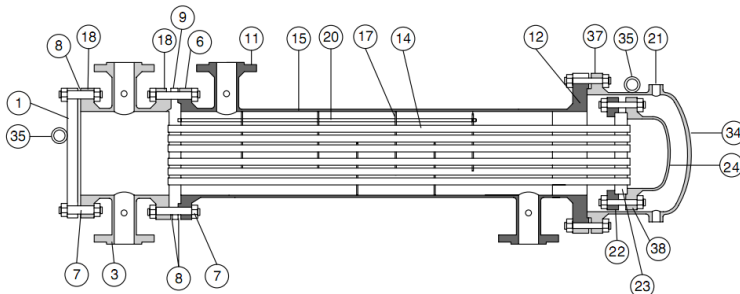
#### ۱-۵- انواع مبدل‌های پوسته‌ولوله بر اساس تقسیم‌بندی TEMA

در شکل ۷-۱، انواع مختلف کلگی جلو<sup>۱</sup> و عقب<sup>۲</sup> و پوسته<sup>۳</sup> که در ساخت مبدل‌های پوسته و لوله مورد استفاده قرار می‌گیرد، بر اساس استاندارد TEMA<sup>۴</sup> (اتحادیه سازندگان مبدل‌های حرارتی لوله‌ای) ارائه شده است [۵]. آشنایی با واژه‌ها و اصطلاحات فنی<sup>۵</sup> سازندگان تجهیزات انتقال حرارت برای یک مهندس فرآیند و طراح مبدل بسیار مهم است. بر اساس نحوه نام‌گذاری TEMA، بر حسب اینکه اجزای مختلف یک مبدل چگونه انتخاب و ساخته شوند نام‌گذاری صورت می‌پذیرد. برای نام هر مبدل، سه حرف اختصاری بکار می‌رود. حرف اول و سوم نوع کلگی جلو و عقب و حرف وسط نوع پوسته و تعداد مسیر گذرهای آن را معین می‌نماید [۵]. در شکل (۳-۳) سه قسمت اصلی یک مبدل براساس استاندارد فوق معین شده است.



شکل ۱-۵: نمایش کلگی جلو، عقب و پوسته در یک مدل نوع BEM با یک گذر پوسته و یک گذر لوله [۴]

در شکل ۱-۶ و شکل ۸-۱ نیز چند نمونه دیگر از انواع مبدل‌ها بر اساس استاندارد TEMA آورده شده است. اجزای تشکیل دهنده مبدل‌های مذکور در شکل‌های مختلف شماره گذاری شده است. در جدول ۱-۱ نام هریک از اعداد متناظر با قطعات مبدل، ذکر شده است [۶].



شكل ٦-١: مبدل نوع AES [٦]

1 Front End

## <sup>2</sup> Rear End

3 Real Shell

<sup>4</sup> TEMA : Tubular Exchanger Manufacturers Association

## **5 Terminology**